

文章编号: 1000-324X(2018)03-0301-06

DOI: 10.15541/jim20170095

## Fe<sub>2</sub>O<sub>3</sub> 纳米纤维锂离子电池负极材料的 制备及其电化学性能研究

蔡建信<sup>1</sup>, 李志鹏<sup>1</sup>, 李巍<sup>1</sup>, 赵鹏飞<sup>1</sup>, 杨震宇<sup>2</sup>, 吁霁<sup>2</sup>

(南昌大学 1. 资源环境与化工学院; 2. 化学学院, 南昌 330031)

**摘要:** Fe<sub>2</sub>O<sub>3</sub> 具有理论比容量高和价格低廉等特点, 已成为锂离子电池负极材料的研究热点之一。实验以不同质量比 PVP/FeCl<sub>3</sub> 溶液为前驱体, 静电纺丝技术制备 PVP/FeCl<sub>3</sub> 纳米纤维并热处理, 得到不同直径的 Fe<sub>2</sub>O<sub>3</sub> 纳米纤维负极材料, 并以水热合成法制备了 Fe<sub>2</sub>O<sub>3</sub> 纳米颗粒。利用 X 射线衍射、热重、红外光谱、扫描电镜、透射电镜和恒流充放电等测试手段对材料的物相、微观形貌和电化学性能进行表征。结果表明, Fe<sub>2</sub>O<sub>3</sub> 纳米纤维比 Fe<sub>2</sub>O<sub>3</sub> 纳米颗粒表现出更优的电化学性能, 直径为 160 nm 的 Fe<sub>2</sub>O<sub>3</sub> 纳米纤维负极材料的倍率性能和循环性能最佳, 材料在 0.1 A/g 电流密度下的可逆容量为 827.3 mAh/g; 在 2 A/g 电流密度下 70 次循环放电比容量有 439.1 mAh/g。

**关键词:** 三氧化二铁; 静电纺丝; 纳米纤维; 负极材料; 锂离子电池

中图分类号: TQ174 文献标识码: A

## Synthesis and Electrochemical Performance of Fe<sub>2</sub>O<sub>3</sub> Nanofibers as Anode Materials for LIBs

CAI Jian-Xin<sup>1</sup>, LI Zhi-Peng<sup>1</sup>, LI Wei<sup>1</sup>, ZHAO Peng-Fei<sup>1</sup>, YANG Zhen-Yu<sup>2</sup>, YU Ji<sup>2</sup>

(1. College of Resources Environmental & Chemical Engineering, Nanchang University, Nanchang 330031, China; 2. College of Chemistry, Nanchang University, Nanchang 330031, China)

**Abstract:** Due to high theoretical specific capacity and low cost, Fe<sub>2</sub>O<sub>3</sub> has become an attractive research field in anode materials for lithium-ion batteries (LIBs). In this study, by using PVP/FeCl<sub>3</sub> solutions with different concentrations as precursors, Fe<sub>2</sub>O<sub>3</sub> nanofibers with different diameters were prepared by electrospinning technology and anneal treatment. In addition, Fe<sub>2</sub>O<sub>3</sub> nanoparticles were prepared by hydrothermal synthesis method. The crystalline structure, morphology and electrochemical performances of the composites were investigated by X-ray diffraction, thermogravimetric analysis, infrared spectrum, scanning electron microscope, transmission electron microscope, and charge-discharge tests. Results showed that Fe<sub>2</sub>O<sub>3</sub> nanofibers has better electrochemical performance than Fe<sub>2</sub>O<sub>3</sub> nanoparticles. Fe<sub>2</sub>O<sub>3</sub> nanofibers with diameter of 160 nm exhibited the highest rate and cycle performance as anode material in LIBs. It was found that the Fe<sub>2</sub>O<sub>3</sub> electrode could deliver a discharge capacity of 827.3 mAh/g at 0.1 A/g current density and 439.1 mAh/g at 2 A/g after 70 cycles.

**Key words:** Fe<sub>2</sub>O<sub>3</sub>; nanofiber; electrospinning; anode material; lithium ion battery

锂离子电池(LIBs)相对于传统蓄电池有电压高、比能量高、循环寿命长和环境友好等优点, 引

起了广泛关注<sup>[1-6]</sup>。但应用于大型的动力设备上的锂离子电池, 必须比容量更大和循环性能更好。锂离

收稿日期: 2017-02-27; 收到修改稿日期: 2017-05-18

基金项目: 国家自然科学基金(21263016, 21363015, 51662029)

National Natural Science Foundation of China (21263016, 21363015, 51662029)

作者简介: 蔡建信(1973-), 男, 博士, 副教授. E-mail: cjj@ncu.edu.cn

子电池负极材料是影响 LIBs 电化学性能的关键因素之一。目前商业化的 LIBs 主要以石墨为负极材料, 但是其理论比容量较低, 仅有 372 mAh/g, 限制了 LIBs 电化学性能的进一步提高<sup>[7-8]</sup>。 $\text{Fe}_2\text{O}_3$  由于具有高比容量(1007 mAh/g)、储量丰富和无毒害性等特点, 是当前负极材料研究热点之一<sup>[9-10]</sup>。但是,  $\text{Fe}_2\text{O}_3$  作为锂离子电池负极材料在锂脱嵌过程中体积会发生剧烈变化, 导致材料结构崩塌, 继而在集流体上粉化并脱落, 降低其电化学性能<sup>[11-13]</sup>。

静电纺丝技术原理简单, 能够生产出纳米纤维和无纺布<sup>[14-18]</sup>。与纳米颗粒相比, 由静电纺丝制备的纳米纤维的比表面积较小, 但在径向上又是纳米尺度, 可以减缓充放电过程中体积变化, 同时锂离子的迁移距离短, 极化小, 有利于电极材料比容量的发挥。

本工作以不同质量比的 PVP/ $\text{FeCl}_3$  溶液为前驱体, 静电纺丝技术制备 PVP/ $\text{FeCl}_3$  纳米纤维并热处理, 得到不同直径的  $\text{Fe}_2\text{O}_3$  纳米纤维负极材料, 并以水热合成法制备了  $\text{Fe}_2\text{O}_3$  纳米颗粒, 并对材料的电化学性能做一系列对比研究。

## 1 实验方法

### 1.1 $\text{Fe}_2\text{O}_3$ 纳米纤维和 $\text{Fe}_2\text{O}_3$ 纳米颗粒的制备

静电纺丝法并结合热处理技术制备  $\text{Fe}_2\text{O}_3$  纳米纤维。配制不同质量比 PVP/ $\text{FeCl}_3$  溶液为前驱体,  $\text{FeCl}_3$  浓度分别为 6wt%、12wt% 和 18wt%, 制备得到  $\text{Fe}_2\text{O}_3$  纳米纤维, 具体制备过程见文献[18], 样品分别标记为纳米纤维  $\text{Fe}_2\text{O}_3$ (I)、 $\text{Fe}_2\text{O}_3$ (II) 和  $\text{Fe}_2\text{O}_3$ (III)。

以水热合成法制备  $\text{Fe}_2\text{O}_3$  纳米颗粒。取 4.8 g 的无水  $\text{FeCl}_3$  溶于 10 mL 无水乙醇, 加入 5 mL 环氧甲烷, 搅拌至凝胶状, 移至高压反应釜内, 170°C 下反应 11 h, 冷却至室温, 离心分离, 80°C 真空干燥箱中干燥 10 h, 得到  $\text{Fe}_2\text{O}_3$  纳米颗粒, 样品标记为  $\text{Fe}_2\text{O}_3$ Ps。

### 1.2 材料结构与电化学性能表征

对制备得到的纳米纤维进行 XRD 分析, 仪器测试采用步进扫描方式, 步进宽度 0.02°, 步进 1 s,  $2\theta$  范围为 5°~80°, 条件为 Cu K $\alpha$  射线(石墨单色器过滤,  $\lambda=0.15406 \text{ nm}$ ), 管流 30 mA, 管压 40 kV。在型号为 TGA/DSC 3+热重差热分析仪(Mettler Toledo 公司)中进行热重分析, 内部气氛为 Air, 流速为 20 mL/h, 温度范围为 25~800°C。在型号为 NICOLET-380 傅里叶红外光谱分析仪(NICOLET 公司)中进行样品的傅里叶红外光谱分析。在 XL30 ESEM-FEG 扫描电镜(美国 FEI 公司)和 Tecnai G2 20 透射电镜(美国 FEI 公司)观察样品的微观形貌。

按质量比 20:5:1:1 称取  $\text{Fe}_2\text{O}_3$  纳米纤维、导电炭黑(Super-P)、羧甲基纤维素钠(CMC)与丁苯橡胶(SBR), 再加入一定量的去离子水做溶剂, 搅拌混合 24 h 后得到调制好的涂布浆料。将浆料均匀涂布在铜箔上, 放入烘箱中 60°C 烘干半小时, 去除样品表面溶剂, 再放入真空干燥箱中 100°C 真空干燥 8 h, 除去样品内部溶剂和水分。将干燥处理好的样品切成直径为 16 mm 的小圆片, 称重并计算活性物质质量[活性物质质量=(极片总质量-铜箔质量)×0.74]。在型号 MC-10-Compact 手套箱(德国布劳恩公司)中组装扣式电池(CR2025)。在 NEWARE 电池性能测试系统上进行扣式电池充放电测试, 充放电电压区间为 0.02~3.00 V。在电化学工作站 Princeton PARSTAT 2273 上测试样品的循环伏安和交流阻抗性能。

## 2 结果与讨论

### 2.1 物相分析

为了研究 PVP/ $\text{FeCl}_3$  纳米纤维在不同温度下的变化, 在 300~700°C 温度下空气煅烧上述纳米纤维, 并对产物进行 FT-IR 分析。如图 1(a)所示, 未煅烧的 PVP/ $\text{FeCl}_3$  纳米纤维在图谱中出现明显的 3369  $\text{cm}^{-1}$  吸收特征峰, 对应于  $\text{H}_2\text{O}$  中-OH 的伸缩振动; 明显的 1621  $\text{cm}^{-1}$  吸收特征峰, 对应于 PVP 中-N-C(=O)- 的伸缩振动, 说明了 PVP 的存在。当温度从 300°C 升到 500°C 时, 1621  $\text{cm}^{-1}$  吸收特征峰强度逐渐减弱至消失, 说明 PVP 在热处理过程逐渐分解了。500°C 煅烧产物中出现的 463 和 551  $\text{cm}^{-1}$  吸收峰为 Fe-O 伸缩振动峰, 证明产物中存在  $\text{FeO}_x$ 。随着热处理温度升高, Fe-O 伸缩振动峰逐渐增强, 说明  $\text{FeO}_x$  的结晶程度变好, 物质结构趋于稳定。

图 1(b)为在 300~700°C 温度下 PVP/ $\text{FeCl}_3$  纳米纤维空气煅烧产物和  $\text{Fe}_2\text{O}_3$  纳米颗粒的 XRD 图谱。 $\alpha$ - $\text{Fe}_2\text{O}_3$  的 XRD 谱图均可归属对应的 PDF 卡片 33-0664<sup>[19-20]</sup>。如图所示, 当煅烧温度从 300°C 升至 500°C, 明显出现  $\text{Fe}_2\text{O}_3$  的衍射特征峰, 当煅烧温度升至 700°C 时,  $\text{Fe}_2\text{O}_3$  的特征峰强度变强,  $\text{Fe}_2\text{O}_3$  特征峰  $2\theta$  没有明显变化, 与图中  $\text{Fe}_2\text{O}_3$  纳米颗粒的特征峰完全吻合。

### 2.2 热重分析

为了探讨纳米纤维不同温度的质量损失, 在空气气氛, 温度范围为 25~800°C, 升温速度 10°C/min, 分别热重分析 PVP 纳米纤维和 PVP/ $\text{FeCl}_3$  纳米纤维。从图 2 中 PVP 纳米纤维热失重曲线可以看出, 114°C 以前的质量损失主要是样品中溶剂和水分损

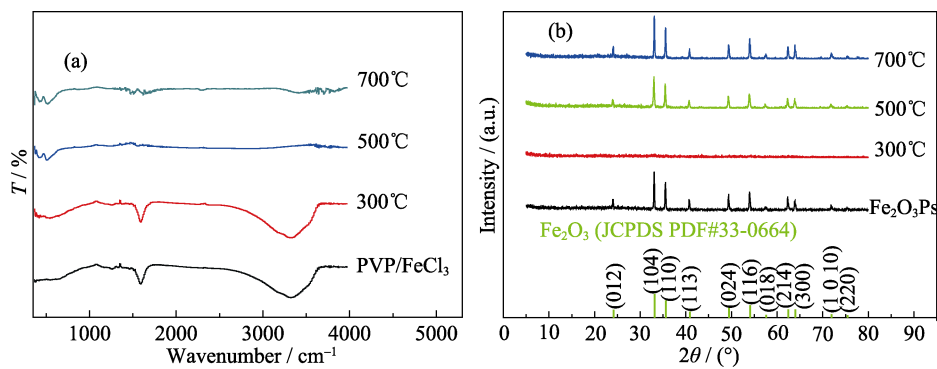


图1 (a)未煅烧的PVP/FeCl<sub>3</sub>纳米纤维及其在300~700°C温度下煅烧产物的FT-IR图谱和(b)PVP/FeCl<sub>3</sub>纳米纤维在300~700°C温度下煅烧产物和Fe<sub>2</sub>O<sub>3</sub>纳米颗粒的XRD图谱

Fig. 1 (a) FT-IR spectra of PVP/FeCl<sub>3</sub>(II) nanofibers and the products calcined from PVP/FeCl<sub>3</sub>(II) nanofibers at 300–700 °C and (b) XRD patterns of the products calcined from PVP/FeCl<sub>3</sub>(II) nanofibers and Fe<sub>2</sub>O<sub>3</sub> nanoparticles at 300–700 °C

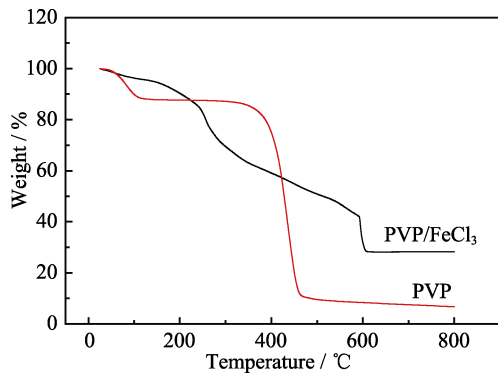


图2 PVP纳米纤维和PVP/FeCl<sub>3</sub>纳米纤维的热失重曲线

Fig. 2 Thermogravimetric curves of PVP nanofibers and PVP/FeCl<sub>3</sub> nanofibers

失引起的。温度在323°C~478°C区间的质量损失来自于PVP的热分解。温度从478°C上升到600°C，材料质量不再有明显损失，说明在478°C以后PVP已被分解完全。从PVP/FeCl<sub>3</sub>纳米纤维的热失重曲线可

以看出，114°C以前的质量损失主要是样品中溶剂和水分损失引起的。125~248°C之间的质量损失可能是水解产生的Fe(OH)<sub>3</sub>脱水形成了FeO(OH)，248~590°C的质量损失主要是FeO(OH)继续脱水生成Fe<sub>2</sub>O<sub>3</sub>导致<sup>[21~22]</sup>；在590~600°C之间有个急剧的质量损失主要是PVP的热分解引起。对比两种纳米纤维的热失重曲线发现，PVP/FeCl<sub>3</sub>纳米纤维中的PVP热分解温度比纯PVP热解温度高100°C以上，这是由于PVP/FeCl<sub>3</sub>纳米纤维在300~400°C开始热解成的Fe<sub>2</sub>O<sub>3</sub>与PVP之间相互作用，使得PVP的热稳定性显著提高<sup>[23]</sup>。

综上所述，当煅烧温度升至600°C时，PVP/FeCl<sub>3</sub>纳米纤维不再发生变化，制备得到纯Fe<sub>2</sub>O<sub>3</sub>纳米纤维样品。

### 2.3 扫描和透射电镜测试

图3是三种Fe<sub>2</sub>O<sub>3</sub>纳米纤维和Fe<sub>2</sub>O<sub>3</sub>纳米颗粒的SEM和TEM照片。如图所示，Fe<sub>2</sub>O<sub>3</sub>纳米纤维形

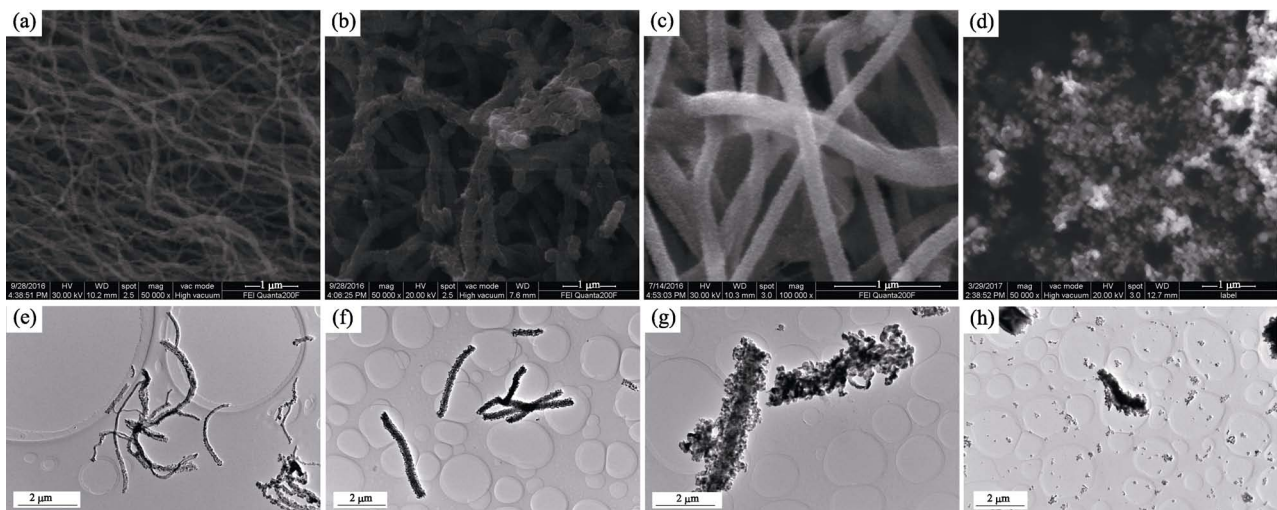


图3 (a, e)Fe<sub>2</sub>O<sub>3</sub>(I), (b, f)Fe<sub>2</sub>O<sub>3</sub>(II), (c, g)Fe<sub>2</sub>O<sub>3</sub>(III)纳米纤维和(d, h)Fe<sub>2</sub>O<sub>3</sub>纳米颗粒的SEM和TEM照片

Fig. 3 SEM and TEM images of (a, e) Fe<sub>2</sub>O<sub>3</sub>(I), (b, f) Fe<sub>2</sub>O<sub>3</sub>(II), (c, g) Fe<sub>2</sub>O<sub>3</sub>(III) nanofibers and (d, h) Fe<sub>2</sub>O<sub>3</sub> nanoparticles

状弯曲，表面粗糙， $\text{Fe}_2\text{O}_3$ 纳米纤维由许多纳米小颗粒组成，而且 $\text{FeCl}_3$ 浓度越大，制备得到的 $\text{Fe}_2\text{O}_3$ 纳米纤维越粗糙； $\text{FeCl}_3$ 浓度越小，纤维形状越完好。 $\text{Fe}_2\text{O}_3$ 纳米纤维直径分别为160、560和1200 nm， $\text{Fe}_2\text{O}_3$ 纳米颗粒的直径为80 nm。

## 2.4 恒流充放电测试

图4是在0~3.00 V电压范围内，不同电流密度下 $\text{Fe}_2\text{O}_3$ (I)、 $\text{Fe}_2\text{O}_3$ (II)、 $\text{Fe}_2\text{O}_3$ (III)纳米纤维和 $\text{Fe}_2\text{O}_3$ 纳米颗粒的倍率性能图，其中在0.05 A/g电流密度下测定前三个循环，其余是在0.1、0.2、0.5、2和0.1 A/g电流密度下分别循环10次测定得到倍率放电图。从图4很明显可看出， $\text{Fe}_2\text{O}_3$ (I)纳米纤维在0.1、0.2、0.5、2和0.1 A/g电流密度下的放电比容量分别为827.3、766.6、655.8、494.5和817.1 mAh/g。与纤维直径更大的 $\text{Fe}_2\text{O}_3$ (II)纳米纤维、 $\text{Fe}_2\text{O}_3$ (III)纳米纤维和 $\text{Fe}_2\text{O}_3$ 纳米颗粒相比， $\text{Fe}_2\text{O}_3$ (I)纳米纤维的电化学性能相对更优异。

选取电化学性能最好的 $\text{Fe}_2\text{O}_3$ (I)纳米纤维进一步研究。图5为在2 A/g的电流密度下 $\text{Fe}_2\text{O}_3$ (I)纳米

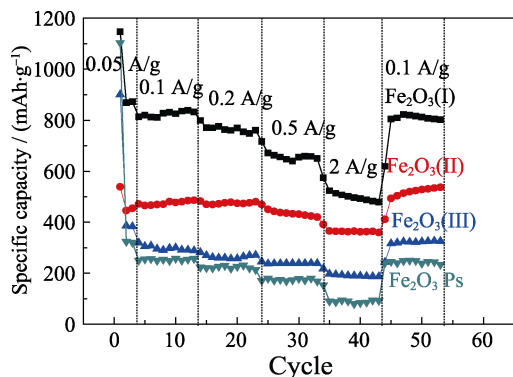


图4  $\text{Fe}_2\text{O}_3$ (I)纳米纤维、 $\text{Fe}_2\text{O}_3$ (II)纳米纤维和 $\text{Fe}_2\text{O}_3$ (III)纳米纤维及 $\text{Fe}_2\text{O}_3$ 纳米颗粒的倍率性能图

Fig. 4 Rate performance of  $\text{Fe}_2\text{O}_3$ (I) nanofibers,  $\text{Fe}_2\text{O}_3$ (II) nanofibers,  $\text{Fe}_2\text{O}_3$ (III) nanofibers, and  $\text{Fe}_2\text{O}_3$  nanoparticles

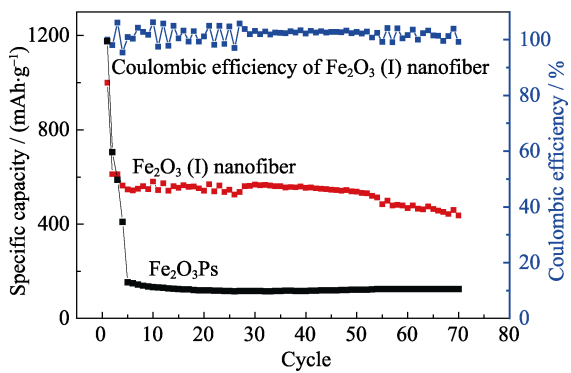


图5 在2 A/g的电流密度下 $\text{Fe}_2\text{O}_3$ (I)纳米纤维和 $\text{Fe}_2\text{O}_3$ 颗粒的循环曲线以及 $\text{Fe}_2\text{O}_3$ (I)纳米纤维的库伦效率图

Fig. 5 Cycling performance and coulombic efficiency of  $\text{Fe}_2\text{O}_3$ (I) nanofibers and  $\text{Fe}_2\text{O}_3$  particles at 2 A/g

纤维和 $\text{Fe}_2\text{O}_3$ 颗粒的循环曲线及 $\text{Fe}_2\text{O}_3$ (I)纳米纤维的库伦效率，从图中可以看出，负极材料 $\text{Fe}_2\text{O}_3$ (I)纳米纤维的首次放电比容量为998.2 mAh/g，第二次循环的放电比容量衰减为613.0 mAh/g，这是由于SEI膜的形成使得容量急剧减小，70次循环容量仍然保持在439.1 mAh/g，相对于第二次循环的容量保持率为71.6%。而负极材料 $\text{Fe}_2\text{O}_3$ 颗粒首次放电比容量，1178.6 mAh/g，比 $\text{Fe}_2\text{O}_3$ (I)纳米纤维的首次放电比容量高，但70次循环后放电比容量只有124.6 mAh/g，远小于 $\text{Fe}_2\text{O}_3$ (I)纳米纤维。这可能是静电纺丝制备 $\text{Fe}_2\text{O}_3$ 纳米纤维与 $\text{Fe}_2\text{O}_3$ 纳米颗粒相比，比表面积较小，一维纳米结构材料在径向上能够有效减缓材料的体积效应，也缩短了锂嵌入的迁移距离，极化减少，显著提高了电池的循环性能和倍率性能。

图6是 $\text{Fe}_2\text{O}_3$ (I)纳米纤维在0~3.00 V电压范围内，0.1 A/g电流密度下的充放电曲线图，如图所示，材料首次放电出现三个放电平台<sup>[24-26]</sup>，第一个出现的1.62 V较短平台是由于锂嵌入 $\text{Fe}_2\text{O}_3$ 中形成 $\text{Li}_x\text{Fe}_2\text{O}_3$ ，这是一个不可逆的反应，所以在第二次循环中此平台消失；第二个出现的0.96 V稍微比较长的平台代表 $\text{Li}_x\text{Fe}_2\text{O}_3$ 嵌锂相变成立方相的 $\text{Li}_2\text{Fe}_2\text{O}_3$ ，这也是一个不可逆的反应，所以在第二次循环中此平台消失；第三个最长的0.65 V的平台表示 $\text{Fe}^{3+}$ 逐渐被还原成 $\text{Fe}^0$ ，在下一个循环中0.65 V平台宽度减小，说明有SEI膜形成，使容量减小。材料的首次充电比容量为937.0，放电比容量为1229.8 mAh/g，库伦效率为76.2%，容量损失为292.8 mAh/g，这是由于不可逆反应形成的。第二次循环的充电比容量为924.0，放电比容量为945.9 mAh/g，库伦效率为97.68%，容量损失很小，说明电解液与负极材料之间具有良好的电化学动力学兼容性<sup>[27]</sup>。循环70次

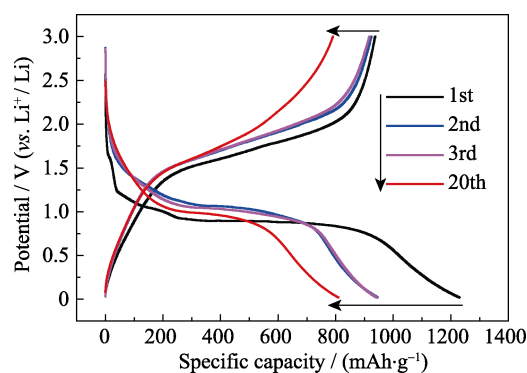


图6  $\text{Fe}_2\text{O}_3$ (I)纳米纤维在0~3.00 V电压范围内，0.1 A/g电流密度下的充放电曲线图

Fig. 6 Discharge-charge curves of  $\text{Fe}_2\text{O}_3$ (I) nanofibers at 0.1 A/g in the potential range of 0–3.00 V

后仍然有 809.2 mAh/g 的放电比容量, 表现出良好电化学性能。

## 2.5 电化学阻抗测试

图 7 为  $\text{Fe}_2\text{O}_3$ (I) 纳米纤维、 $\text{Fe}_2\text{O}_3$ (II) 纳米纤维和  $\text{Fe}_2\text{O}_3$ (III) 纳米纤维和  $\text{Fe}_2\text{O}_3$  颗粒负极材料的交流阻抗谱图, 如图所示, 四种材料的阻抗值分别为 109.4、145.1、249.5 和 353.7  $\Omega$ 。 $\text{Fe}_2\text{O}_3$  纳米纤维直径越小, 阻抗越小, 这是由于一维纳米结构材料在径向上尺寸达到纳米级, 锂离子脱嵌距离变短, 锂离子迁移速率变快, 故而阻抗值变小。

## 2.6 循环伏安测试

通过前五个循环的循环伏安测试研究  $\text{Fe}_2\text{O}_3$ (I) 纳米纤维的充放电机理。在 0~3 V 电压范围内, 扫速为 0.1 mV/s 对材料进行了 CV 测试, 结果如图 8 所示, 第一个循环曲线在 0.65 V 出现了一个较强的还原峰, 在 0.96 和 1.62 V 出现两个较弱的还原峰。如图 6 所述, 1.62 V 的还原峰对应于  $\text{Fe}_2\text{O}_3$  嵌锂形成的  $\text{Li}_x\text{Fe}_2\text{O}_3$ , 而 0.96 V 的还原峰对应于  $\text{Li}_x\text{Fe}_2\text{O}_3$  嵌锂相变成立方相  $\text{Li}_2\text{Fe}_2\text{O}_3$ , 最强峰位 0.65 V 主要是由于  $\text{Fe}^{3+}$  被逐渐还原成  $\text{Fe}^0$  引起。在脱锂过程中, 1.64 V

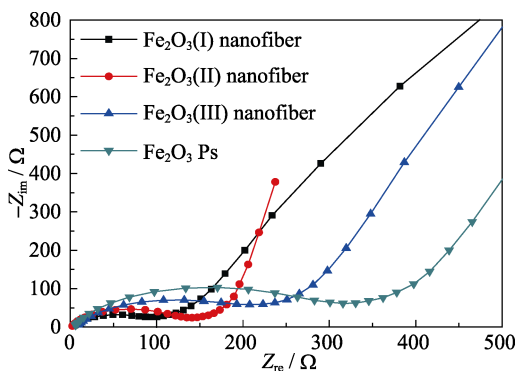


图 7 样品的电化学阻抗谱图

Fig. 7 Electrochemical impedance spectra of the samples

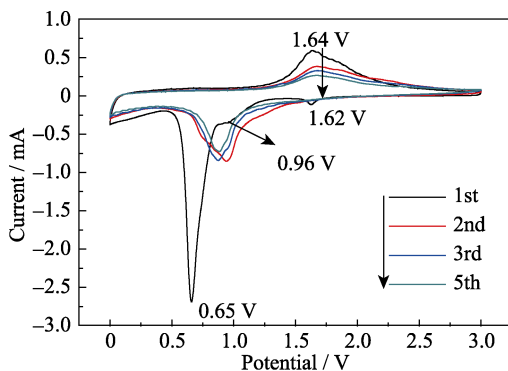


图 8  $\text{Fe}_2\text{O}_3$ (I) 纳米纤维材料在 0~3.00 V 电压范围内, 0.1 mV/s 的扫描速率下前五个循环伏安曲线

Fig. 8 CV curves of  $\text{Fe}_2\text{O}_3$ (I) nanofibers at 0.1 mV/s rate in the potential range of 0~3.00 V

氧化峰主要是由于  $\text{Fe}^0$  被逐渐氧化成  $\text{Fe}^{3+}$  引起。在第 2, 3, 4, 5 个循环中, 0.65 V 还原峰强度降低且偏移, 主要原因是负极材料与电解液反应, 形成了 SEI 膜<sup>[28-30]</sup>, 但这个还原峰强度变化不大, 说明  $\text{Fe}_2\text{O}_3$  纳米纤维具有稳定的脱嵌锂性能。

## 3 结论

采用静电纺丝技术, 以三种不同  $\text{FeCl}_3$  浓度的 PVP/ $\text{FeCl}_3$  混合溶液为前驱体, 制备不同直径的  $\text{Fe}_2\text{O}_3$  纳米纤维; 并以水热合成法制备了  $\text{Fe}_2\text{O}_3$  纳米颗粒, 结果表明,  $\text{Fe}_2\text{O}_3$  纳米纤维比  $\text{Fe}_2\text{O}_3$  纳米颗粒表现出更优的电化学性能, 纤维直径对  $\text{Fe}_2\text{O}_3$  纳米纤维负极材料电化学性能有较大影响。在 0.1、0.2、0.5、2 和 0.1 A/g 电流密度下, 直径为 160 nm 的  $\text{Fe}_2\text{O}_3$  纳米纤维的放电比容量分别为 827.3、766.6、655.8、494.5 和 817.1 mAh/g; 2 A/g 电流密度下, 70 次循环容量还能保持 439.1 mAh/g, 容量保持率为 71.6%, 比  $\text{Fe}_2\text{O}_3$  纳米颗粒和直径大的  $\text{Fe}_2\text{O}_3$  纳米纤维和具有更好的可逆比容量和更高循环稳定性, 这表明一维结构的  $\text{Fe}_2\text{O}_3$  能够提供更短的锂离子迁移距离, 减少电极极化, 缓解径向体积变化, 因此  $\text{Fe}_2\text{O}_3$  纳米纤维作为锂离子负极材料表现出较好的电化学性能。

## 参考文献:

- ARICO A S, BRUCE P, SCROSATI B, et al. Nanostructured materials for advanced energy conversion and storage devices. *Nature Materials*, 2005, **4**(5): 366–377.
- CHOCKLA A M, HARRIS J T, AKHAVAN V A, et al. Silicon nanowire fabric as a lithium ion battery electrode material. *Journal of the American Chemical Society*, 2011, **133**(51): 20914–20921.
- TARASCON J M, ARMAND M. Issues and challenges facing rechargeable lithium batteries. *Nature*, 2001, **414**: 359–367.
- LI HUIQIAO, ZHOU HAOSHEN. Enhancing the performances of Li-ion batteries by carbon-coating: present and future. *Chemical Communications*, 2012, **48**(9): 1201–1217.
- LIU GAO, XUN SHIDI, SONG XIANGYUN, et al. Polymers with tailored electronic structure for high capacity lithium battery electrodes. *Advanced Materials*, 2011, **23**(40): 4679–4683.
- TERRANOVA M L, ORLANDUCCI S, TAMBURRI E, et al. Si/C hybrid nanostructures for Li-ion anodes: an overview. *Journal of Power Sources*, 2014, **246**: 167–177.
- JI LIWEN, TOPRAKCI OZAN, ALCOUTLABI MATAZ, et al.  $\alpha$ - $\text{Fe}_2\text{O}_3$  nanoparticle-loaded carbon nanofibers as stable and high-capacity anodes for rechargeable lithium-ion batteries. *ACS Applied Materials & Interfaces*, 2012, **4**(5): 2672–2679.
- CHEN J, XU L, LI W, et al.  $\alpha$ - $\text{Fe}_2\text{O}_3$  nanotubes in gas sensor and lithium-ion battery applications. *Advanced Materials*, 2005, **17**(5): 582–586.
- LEI DANNI, ZHANG MING, QU BAIHUA, et al.  $\alpha$ - $\text{Fe}_2\text{O}_3$  nanowall arrays: hydrothermal preparation, growth mechanism and

- excellent rate performances for lithium ion batteries. *Nanoscale*, 2012, **4(11)**: 3422–3426.
- [10] LI JIAXIN, ZHAO YI, DING YUNHAI, et al. Fe<sub>2</sub>O<sub>3</sub> nanoparticles coated on ferrocene-encapsulated single-walled carbon nanotubes as stable anode materials for long-term cycling. *RSC Advance*, 2012, **2(10)**: 4205–4208.
- [11] LIU ZHAOLIN, SIOK WEI TAY. Direct growth Fe<sub>2</sub>O<sub>3</sub> nanorods on carbon fibers as anode materials for lithium ion batteries. *Materials Letters*, 2012, **72**: 74–77.
- [12] LIU JING, HE FANG, CHEN LIXIA, et al. Novel hexagonal-YFeO<sub>3</sub>/α-Fe<sub>2</sub>O<sub>3</sub> heterojunction composite nanowires with enhanced visible light photocatalytic activity. *Materials Letters*, 2016, **165**: 263–266.
- [13] QIAO HUI, LUO LEI, CHEN KE, et al. Electrospun synthesis and lithium storage properties of magnesium ferrite nanofibers. *Electrochimica Acta*, 2015, **160**: 43–49.
- [14] GAO Q, TAKIZAWA J, KIMURA M, et al. Hydrophilic non-wovens made of cross-linked fully-hydrolyzed poly(vinyl alcohol) electrospun nanofibers. *Polymer*, 2013, **54(1)**: 120–126.
- [15] GAO QIANG, MEGURO HIKARU, OKAMOTO SHUJI, et al. Flexible tactile sensor using the reversible deformation of poly(3-hexylthiophene) nanofiber assemblies. *Langmuir*, 2012, **28(51)**: 17593–17596.
- [16] GAO CHUNXIA, RAHAMAN MN, GAO QIANG, et al. Robotic deposition and *in vitro* characterization of 3D gelatin-bioactive glass hybrid scaffolds for biomedical applications. *Journal of Biomedical Materials Research Part A*, 2013, **101(7)**: 2027–2037.
- [17] ZHOU JIAN, GAO QIANG, FUKAWA T, et al. Macroporous conductive polymer films fabricated by electrospun nanofiber templates and their electromechanical properties. *Nanotechnology*, 2011, **22(27)**: 275501.
- [18] CAI JIANXIN, ZHAO PENGFEI, LI ZHIPENG, et al. A corn-inspired structure design for an iron oxide fiber/reduced graphene oxide composite as a high performance anode material for Li-ion batteries. *RSC Advance*, 2017, **7**: 44874–44883.
- [19] ZHU YING, ZHANG JINGCHANG, ZHAI JIN, et al. Preparation of superhydrophilic α-Fe<sub>2</sub>O<sub>3</sub> nanofibers with tunable magnetic properties. *Thin solid films*, 2006, **510**: 271–274.
- [20] KIM HAE-RIM, KIM BYOUNG-SUHK, KIM ICK-SOO. Fabrication and EMI shielding effectiveness of Ag-decorated highly porous poly(vinylalcohol)/Fe<sub>2</sub>O<sub>3</sub> nanofibrous composites. *Materi-*als *Chemistry and Physics*, 2012, **135**: 1024–1029.
- [21] ZHAN SIHUI, CHEN DAIRONG, JIAO XIULING, et al. Facile fabrication of long α-Fe<sub>2</sub>O<sub>3</sub>, α-Fe and γ-Fe<sub>2</sub>O<sub>3</sub> hollow fibers using Sol-Gel combined co-electrospinning technology. *J. Colloid Interfaces Sci.*, 2007, **308**: 265–270.
- [22] PARK CHAN-HEE, KANG SEUNG-JI, LEONARD D TIJING, et al. Inductive heating of electrospun Fe<sub>2</sub>O<sub>3</sub>/polyurethane composite mat under high-frequency magnetic field. *Ceramics International*, 2013, **39**: 9785–9790.
- [23] CHENG S, SHEN D, ZHU X, et al. Preparation of nonwoven polyimide/silica hybrid nanofibrous fabrics by combining electrospinning and controlled *in situ* Sol-Gel techniques. *European Polymer Journal*, 2009, **45(10)**: 2767–2778.
- [24] ZOU MINGZHONG, LI JIAXIN, WEN WEIWEI, et al. Silver-incorporated composites of Fe<sub>2</sub>O<sub>3</sub> carbon nanofibers as anodes for high-performance lithium batteries. *Journal of Power Sources*, 2014, **270**: 468–474.
- [25] ZHU JIADENG, LU YAO, CHEN CHEN, et al. Porous one-dimensional carbon/iron oxide composite for rechargeable lithium-ion batteries with high and stable capacity. *Journal of Alloys and Compounds*, 2016, **672**: 79–85.
- [26] CHO JUNG-SANG, HONG YOUNG-JUN, KANG YUN-CHAN, et al. Design and synthesis of bubble-nanorod-structured Fe<sub>2</sub>O<sub>3</sub>-carbon nanofibers as advanced anode material for Li-ion batteries. *ACS Nano*, 2015, **4(9)**: 4025–4035.
- [27] YANG X L, ZHANG P C, WEN Z Y, et al. High performance silicon/carbon composite prepared by *in situ* carbon-thermal reduction for lithium ion batteries. *Journal of Alloys and Compounds*, 2010, **496(1/2)**: 403–406.
- [28] LIU LONG, YANG XIANGFENG, LV CHUNXIAO, et al. Seaweed-derived route to Fe<sub>2</sub>O<sub>3</sub> hollow nanoparticles/n-doped graphene aerogels with high lithium ion storage performance. *ACS Applied Materials & Interfaces*, 2016, **8(11)**: 7047–7053.
- [29] CHENG YONGLIANG, ZOU BINGLIN, WANG CHUNJIE, et al. Formation mechanism of Fe<sub>2</sub>O<sub>3</sub> hollow fibers by direct annealing of the electrospun composite fibers and their magnetic, electrochemical properties. *CrystEngComm*, 2011, **13**: 2863–2870.
- [30] CHERIAN C T, SUNDARAMURTHY J, KALAIVANI M, et al. Electrospun α-Fe<sub>2</sub>O<sub>3</sub> nanorods as a stable, high capacity anode material for Li-ion batteries. *Journal of Materials Chemistry*, 2012, **22**: 12198–12204.